

DNA 修饰碱基 5-甲基胞嘧啶和 8-羟基鸟嘌呤的毛细管气相色谱分析及质谱鉴定

宋元宗¹, 祝其锋¹, 庄海旗², 莫丽儿²

(1. 广东医学院医用生化研究所, 广东 湛江 524023; 2. 广东医学院化学教研室, 广东 湛江 524023)

摘要 探索了 GC/FID 定量分析 DNA 修饰碱基 5-甲基胞嘧啶和 8-羟基鸟嘌呤的实验条件, 用 GC/MS 鉴定各有关成分。结果表明, DNA 水解物中不同成分可被成功地衍生和分离, 5-甲基胞嘧啶和 8-羟基鸟嘌呤的相对摩尔反应因子分别为 3.0 和 1.3, 灵敏度分别为 $5.50 \times 10^9 \text{ mV} \cdot \text{s/g}$ 和 $7.59 \times 10^{10} \text{ mV} \cdot \text{s/g}$, 检测限可分别达 36.4 pg/s 和 15.8 pg/s, 整个分析流程的相对标准偏差小于 20%。

关键词 气相色谱, 质谱, 修饰碱基, 5-甲基胞嘧啶, 8-羟基鸟嘌呤

中图分类号: Q658.1657.7/Q5

文献标识码: A

文章编号: 1000-8713(2000)04-0295-05

1 前言

8-羟基鸟嘌呤是在活性氧、电离辐射、某些致癌原、药物或激素的作用下细胞 DNA 中的鸟嘌呤发生氧化损伤而形成的一种修饰碱基, 而 5-甲基胞嘧啶是一种经典的 DNA 修饰碱基, 这两种修饰碱基均参与多种基因表达的调控, 在许多疾病的发生发展过程中发挥着重要的作用^[1,2]。本文参考国外 GC/MS 分析 DNA 中 8-羟基鸟嘌呤等修饰碱基的方法^[3], 对 GC/FID 分析 DNA 中 5-甲基胞嘧啶和 8-羟基鸟嘌呤等修饰碱基的实验条件进行了较为系统的研究, 并应用 GC/MS 对有关成分进行了鉴定, 同时对以往分析过程的某些环节进行了必要的创新和优化。

2 实验部分

2.1 试剂和仪器设备

鲑精 DNA、5-甲基胞嘧啶(5-MC)、8-羟基鸟嘌呤(8-ohG)及乙腈等试剂为 Sigma 公司产品, BSTFA [Bis(methylsilyl)trifluoroacetamide] 为 Fluka 公司产品, 菲为 BDH 产品, FeSO₄ 和 H₂O₂ 等为国产分析纯试剂。

美国 Varian SP-3400型气相色谱仪, 交联 SE-54 熔融石英毛细管柱(30 m × 0.25 mm i. d. × 0.3 μm), 载气为高纯氮, FID 检测器, 台式自动平衡记录仪; 岛津 GC-17A/QP-5000型气质联用仪, 美国 J&W 公司 DB-5 毛细管柱, 载气为高纯氮, 电离方式为 EI; LGJ 型真空冷冻干燥机, 电热式恒温干燥箱。

2.2 衍生条件

取 1.4 g/L DNA 溶液 300 μL 置于衍生瓶中, 用 98% 甲酸水解 40 min 后冻干, 每个衍生瓶中加入衍生溶液(BSTFA-乙腈, 体积比为 1:1) 300 μL 进行三甲基硅烷基(TMS)衍生化, 用进口隔垫封口, 扳紧瓶盖后置电热式干燥箱内, 于 130 °C 下衍生不同时间后加入适量内标菲进行气相色谱分析, 以鸟嘌呤峰面积与菲峰面积比值为纵坐标, 衍生时间为横坐标作图, 结果见图 1。

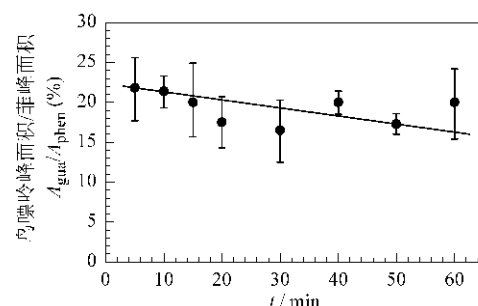


图 1 DNA 样品水解物的 TMS 衍生曲线

Fig. 1 The TMS derivatization curve of the hydrolysate of DNA sample

2.3 分离条件

在 DNA 溶液(终质量浓度 1.0 g/L)中分别加入一定浓度的 H₂O₂ 和 FeSO₄ 溶液, 通过 Fenton 反应产生 HO· 以攻击 DNA 样品, 进而产生 8-羟基鸟嘌呤。将反应液在 37 °C 下保温一定时间后取 300 μL 置于衍生瓶中冻干, 酸解, 再冻干。加入衍生液 300 μL

收稿日期: 1999-09-20; 修回日期: 1999-12-10

基金项目: 广东省重点学科资助课题, 批准号: 粤高教科[1997]14号

作者简介: 宋元宗(1970-)男, 中南大学附属湘雅医院儿科在读博士生, 湖南 长沙 邮编 410008, 电话 (0731)4327208。

进行 TMS 衍生化,再加入含内标菲的乙腈溶液(0.4 g/L)0.5 μL,然后按下列条件进行 GC 分析:氮气和氢气的线性流速均为 30 mL/min,空气的线性流速为 300 mL/min,每次进样 0.8 μL,分流进样,分流比为 15:1。一阶升温程序:120 °C(1 min) $\xrightarrow{15\text{ °C}/\text{min}}$ 250 °C(9 min) 进样口温度 300 °C, FID 温度 310 °C, 衰减为 8, 量程 11。GC/MS 分析的升温程序同上,进样 0.2 μL, 分流比 10:1, 质谱轰击电子能量为 70 eV, 质量扫描范围 30 u ~ 600 u。

3 结果与讨论

3.1 DNA 水解样品的 TMS 衍生曲线

本文所选内标为菲,其化学性质稳定且无可衍生基团,因此鸟嘌呤与菲峰面积的比值可较准确地反映样品中被 TMS 化的鸟嘌呤的含量。从图 1 可看出,在选定的条件下,衍生 15 min 即可将 1.4 g/L 的 DNA 样品成功地进行 TMS 衍生化。值得注意的是,近年来有报道^[4]证实,DNA 中的 4 种碱基在 TMS 衍生过程中都会有少量转化为相应的活性氧损伤产

物。从本文研究结果也可看出,随着衍生时间的延长,鸟嘌呤的含量有降低的趋势,尽管这种降低在统计学上没有显著性意义($F = 1.13$, $P > 0.05$)。因此,在测定 DNA 中 8-ohG 等活性氧损伤产物时,为尽量避免衍生过程所产生的系统误差,应注意控制衍生时间、温度、衍生试剂浓度等参数于合适的范围。

鸟嘌呤在 4 种 DNA 常见碱基中带有最多的可衍生基团(1 个氨基、1 个亚氨基和 1 个羟基),是一种最难进行 TMS 衍生化的碱基;DNA 中修饰碱基属稀有碱基,其含量远远低于鸟嘌呤,故一般情况下鸟嘌呤的衍生条件亦可满足其它碱基的 TMS 衍生化要求。若 DNA 浓度增大或样品中混有其它可衍生物质,则需根据实验要求相应升高衍生温度、延长衍生时间或增大衍生液中 BSTFA 的体积分数。

3.2 经 HO· 攻击的 DNA 样品水解产物的分析

DNA 样品经 Fenton 反应、水解、三甲基硅烷化后,所得产物的典型气相色谱分离图谱(FID 检测)见图 2;GC/MS 总离子流图(TIC)见图 3;有关物质的质谱鉴定图见图 4。

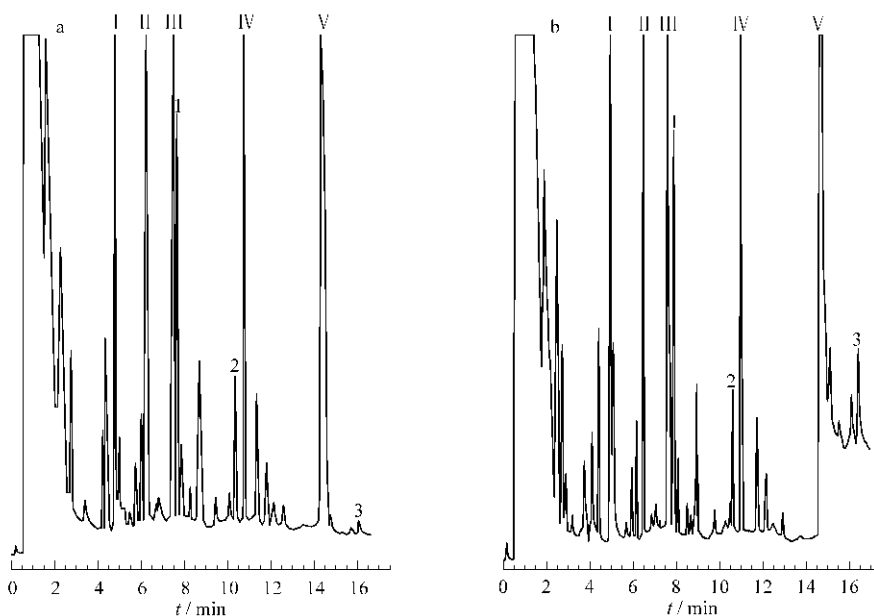


图 2 DNA 样品水解产物的气相色谱图

Fig. 2 Typical gas chromatogram of the trimethylsilylated hydrolysate of DNA sample

a. FID 的衰减为 8;b. 峰 V 出现后立即将 FID 衰减由 8 调至 1。

a. The FID attenuation was 8;b. The FID attenuation is adjusted from 8 to 1 as peak V appears.

峰:I. 磷酸;II. 胸腺嘧啶;III. 胞嘧啶;IV. 腺嘌呤;V. 鸟嘌呤。1.5-甲基胞嘧啶;2. 菲(内标);3.8-羟基鸟嘌呤。

Peak: I. phosphoric acid; II. thymine; III. cytosine; IV. adenine; V. guanine. 1. 5-methylcytosine; 2. phenanthrene (internal standard); 3.8-hydroxyguanine.

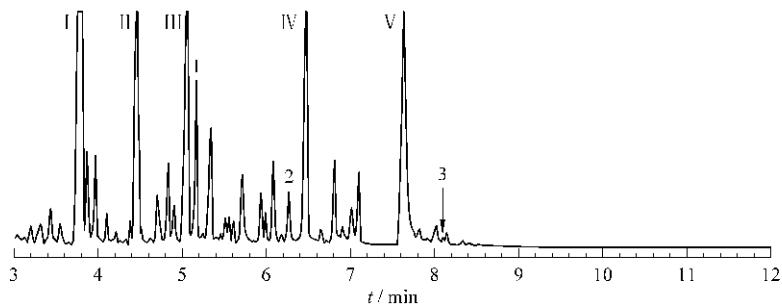


图 3 DNA 样品的典型气质联用总离子流图

Fig. 3 Typical GC/MS total ion current profile of a DNA sample

峰 I ~ V 及 1~3 同图 2。

Peaks I - V , 1-3 same as in Fig. 2.

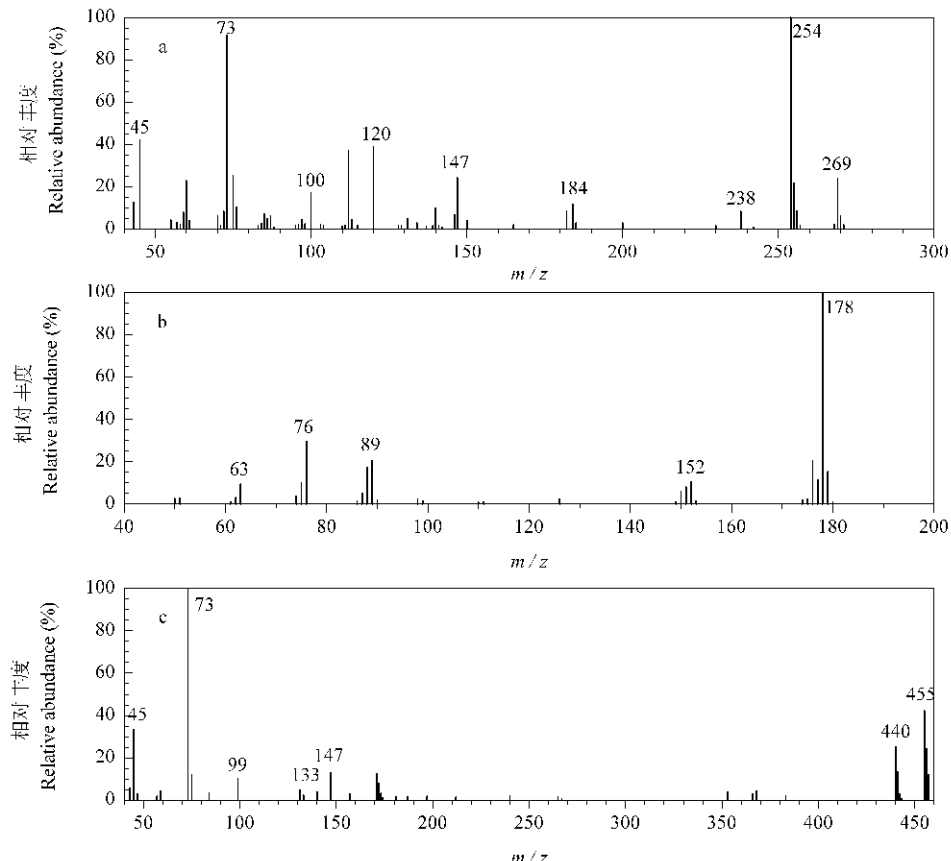


图 4 图 3 中几个峰的质谱鉴定结果

Fig. 4 Mass spectra of several peaks in Fig. 3

a b c 分别对应于图 3 中 1 2 3 峰。

a, b, c correspond to the peaks 1, 2, 3 in Fig. 3, respectively.

经标准品对照和气质联用鉴定证实, 图 2 及图 3 中峰 1, 2, 3 分别对应 5-甲基胞嘧啶、菲、8-羟基鸟嘌呤。由图 2 可见, 在本文实验条件下, 用 GC/FID 分析 DNA 在 20 min 内即可得到满意的分离效果, 而且

内标菲与 DNA 中的其它成分有着良好的分离效果, 这就使应用 GC/FID 定量分析 DNA 中的修饰碱基成为可能。应用 GC/MS 则可在 9 min 内将有关成分有效地分离开来, 与国外类似研究相比, 更节省分析时

间。

3.3 相对摩尔反应因子(f_m)的测定

分别精确称取一定量的 5-MC 和 8-ohG 标准品,以适量菲作内标,共同溶于衍生溶液(BSTFA-乙腈,体积比为 1:2)中,平行衍生 6 个试样,分别进样后测定两种修饰碱基及菲的峰面积,计算各自的相对摩尔反应因子 f_m ,结果见表 1。

表 1 5-甲基胞嘧啶和 8-羟基鸟嘌呤的 f_m 值

Table 1 f_m of 5-methylcytosine and 8-hydroxyguanine

样品号 Sample No.	5-甲基胞嘧啶 5-Methylcytosine	8-羟基鸟嘌呤 8-Hydroxyguanine
1	2.8	1.4
2	2.8	1.3
3	3.1	1.3
4	3.1	1.3
5	3.4	1.3
6	2.8	1.3
$\bar{X} \pm SD$	3.0 ± 0.2	1.3 ± 0.04
RSI(%)	6.7	3.1

从表 1 可见, f_m 的批内 RSD 不超过 7%。但我们的实验表明, f_m 尽管在理论上是一个定值,但仍存在日间变异,因此,精确测定 5-MC 和 8-ohG 绝对浓度时, f_m 的测定最好与样品的检测同时进行。Hashizume^[5] 对鸟嘌呤等碱基相对摩尔反应因子的研究也曾得到类似的结论。

3.4 GC/FID 灵敏度及检测限测定结果

5-MC 和 8-ohG 的 FID 灵敏度分别为 5.50×10^9 mV·s/g 和 7.59×10^{10} mV·s/g; FID 检测限可分别达 36.4 pg/s 和 15.8 pg/s。

气质联用选择性离子测量方式(GC/MS-SIM)的应用,可将 TIC 测量方式时的灵敏度提高 2~3 个数量级,这使得痕量 DNA 修饰碱基的检测成为可能。对于染色质、细胞等水平 8-羟基鸟嘌呤的检测可采用这种测量方式以提高其检测灵敏度。Dizdaroglu^[3] 的研究表明,应用选择性离子测量方式,8-ohG 的质谱检测限可达 fmol 水平。

3.5 重复性实验

3.5.1 仪器重复性实验 将同一衍生瓶中的样品重复进样 5 次后,分别计算 5-MC 和 8-ohG 的浓度,求其均值、SD 和 RSD,结果见表 2。

3.5.2 衍生方法的重复性实验 分别取适量 5-MC 和 8-ohG 标准品溶于衍生液后作 5 次平行衍生,然后进行气相色谱分析,求其均值、SD 和 RSD,结果见表 2。

3.5.3 检测方法的重复性实验 4 个平行 DNA 样品经 HO· 攻击后酸解、衍生,分别测定实验样品中的 5-MC 和 8-ohG 的浓度,求其均值、SD 和 RSD,结果见表 2。

表 2 重复性实验结果

Table 2 The results of repeatability

进样号 Injection No.	衍生化 Derivatization				GC/FID	
	GC				5-MC	8-ohG
	5-MC	8-ohG	5-MC	8-ohG	5-MC	8-ohG
1	4.0	2.2	5.3	2.0	2.7	2.9
2	4.3	2.1	5.3	1.8	2.8	2.3
3	4.2	2.3	4.8	2.1	1.9	2.3
4	4.1	2.3	4.7	2.0	2.5	3.4
5	3.9	2.0	5.3	2.1	-	-
$\bar{X} \pm SD$	4.1 ± 0.2	2.2 ± 0.1	5.1 ± 0.3	2.0 ± 0.1	2.5 ± 0.4	2.7 ± 0.5
RSI(%)	4.8	4.5	5.8	5.0	16.0	18.7

本文所报道的数据是根据 GC/FID 分析所得色谱图及浓度计算公式得出的。从表 2 可看出,色谱仪及衍生方法稳定性好,GC/FID 分析的整个流程的相对标准偏差亦未超过 20%,实际分析过程中可酌情增大样本例数以进一步提高结果的精密度。此外,张海涛等^[6]曾报道,应用 GC/FID 分析法检测 DNA 样品中 8-ohG 的平均回收率为 81.7%,基本可满足定量分析的要求。GC-17A/QP-5000 型气质联用仪配有定量分析软件,可充分发挥 MS 自身高选择性和高可靠性的定量分析功能,应用内标法或绝对标准曲线法计算有关修饰碱基的浓度。

实验过程中发现,衍生化的 8-ohG 等遇水极不稳定,即使与潮湿的空气接触也会在色谱图上出现双峰,从而影响其定量、定性研究。Sasaki 等^[7]在鸟嘌呤等碱基 TMS 衍生产物的气相色谱分析过程中也曾注意到类似双峰现象,并认为这可能与有水条件下 TMS 衍生产物中部分 TMS 基团水解下来有关。本实验过程中曾观察到的 8-ohG 等 TMS 衍生产物的双峰现象可能也由类似机理所致。因此在实验过程中采取严格的干燥措施,保证实验试剂、实验用具及色谱室空气等尽可能地无水化是非常必要的。本研究采取色谱分析室安装空调和空气吸湿机,微量进样器和待测样品置于小型干燥器内,衍生化小容器保存前用有机溶剂(如丙酮)冲洗等多种干燥措施,基本上保证了待测样品的稳定性。

参 考 文 献

- 莫丽儿). Carcinogenesis , Teratogenesis and Mutagenesis(癌变·畸变·突变), 1998 ,10(2):119-122
- 2 CHEN Ya-wen ,SUN Mei ,LIU Ying-miao , et al (陈雅文 ,孙梅 ,刘英苗 ,等). Basic Medical Sciences and Clinics(基础医学与临床), 1996 ,16(5):21-24
- 3 Dizdaroglu M. Free Radical Biology and Medicine , 1991 ,10 : 225-242
- 4 Douki T ,Delatour T ,Bianchini F , et al. Carcinogenesis , 1996 ,
- 17(2) 347-353
- 5 Hashizume T. Analytical Biochemistry , 1968 ,24 :232-242
- 6 ZHANG Hai-tao ,ZHU Qi-feng ,MO Li-er , et al(张海涛 ,祝其锋 ,莫丽儿 ,等). Chinese Journal of Chromatography(色谱), 1999 ,17(3):262-264
- 7 Sasaki Y ,Hashizume T. Analytical Biochemistry , 1966 ,16 :1-9

Capillary Gas Chromatographic Analysis and Mass Spectrometric Identification of Modified DNA Bases 5-Methylcytosine and 8-Hydroxyguanine

SONG Yuan-zong¹ , ZHU Qi-feng¹ , ZHUANG Hai-qi² , MO Li-er²

(1. Medical Biochemistry Institute , Guangdong Medical College , Zhanjiang 524023 , China ;

2. Teaching and Research Section of Chemistry , Guangdong Medical College , Zhanjiang 524023 , China)

Abstract The purpose of this paper was to establish a method for the determination of modified bases ,5-methylcytosine and 8-hydroxyguanine in DNA by GC/FID. The experimental conditions were explored systematically for the quantitative analysis of these two modified bases ,and the components were identified by GC/MS. The results showed that the variant components in DNA treated with Fenton 's reaction can be derivatized and separated successfully . The relative molar reactive factors of 5-methylcytosine and 8-hydroxyguanine were 3.0 and 1.3 ,respectively . The sensitivity for them were 5.50×10^9 mV·s/g and 7.59×10^{10} mV·s/g ,respectively ,while their detectable limits were 36.4 pg/s and 15.8 pg/s ,respectively . The coefficients of variation for gas chromatograph were less than 5% ,for derivatization ,less than 6% and for the whole analysis process ,less than 20% .

Key words gas chromatography ;mass spectrometry ;modified bases ;5-methylcytosine ;8-hydroxyguanine